

“高耐圧トランジスタによるレーザの直接電流変調”

“Direct Current Modulation of Gas and Semiconductor Laser with High Voltage Transistor”

+ 文字 正憲 馬場 光之 馬場 明 増田 陽一郎

M. Jyumonji M. Baba A. Baba Y. Masuda

八戸工業大学 工学部 電気工学科

Department of Electrical Engineering, Hachinohe Institute of Technology

1. はじめに

レーザ、レーダに用いるレーザは一般にパルス発振のものが用いられており、レーザのパルス変調技術には不可欠のものと言える。これらの中で最も簡単な直接電流変調用素子としては、これまで送信管や高耐圧SCRが用いられてきた。ところが最近、半導体技術の急速な進歩に伴ない、高速高耐圧のトランジスタが入手可能となり、極めて高速で大電流、又は高電圧を発生できるパルサが実現できるようになつてきた。^{1~3)} 例えば、2kV程度の矩形パルスを得て強誘電体の分域反転を測定したり、又電流値の高いシングルヘテロ半導体レーザの駆動を行なうなど、従来不可能であったような新らつな分野が開けてきている。我々は高耐圧トランジスタを用いて半導体レーザやHe-Neがスレーザの高速変調を試み、好成績を収めたので報告したい。

2 高速大電流パルサの試作とシングルヘテロ半導体レーザへの応用

2-1 高速大電流パルサの試作

試作した回路をFig. 1に示す。一般的なアバランシェトランジスタ・スイッチング回路⁴⁾である。改良点は素子の選別とリンギング防止用の保険コンデンサを挿入したことである。

スイッチング素子には2SC1173(東芝)を用い、充電コンデンサに V_{CE} ギリギリの電圧で充電しておく、ベースにトリガ信号を加えることにより急速にブレークダウンさせる。電源には0~200V, 0.5Aの安定化電源を用いた。

2-2 試作パルサの動作特性

動作試験は負荷の半導体レーザ⁵⁾代りに0.5~5Ωの純抵抗に置き換えて行なった。Fig. 2は印加電圧と出力ピーカ電流の関係を示すものである。出力電流は印加電圧により大幅に可変でき、パルス幅17ns、最大電流162Aを得た。このような鋭いパルスを得ようとする場合、出力パルスが振動的になることがあるが、保険コンデンサ C_E が有効である。

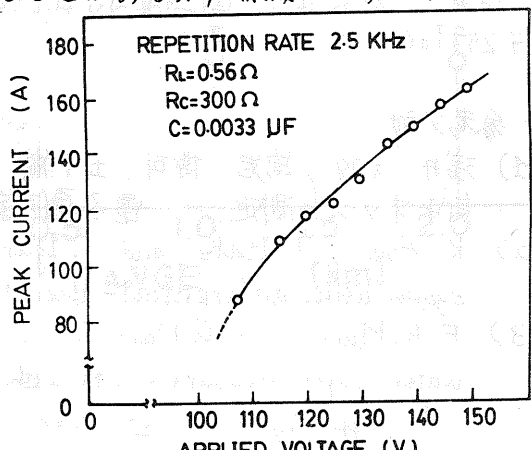
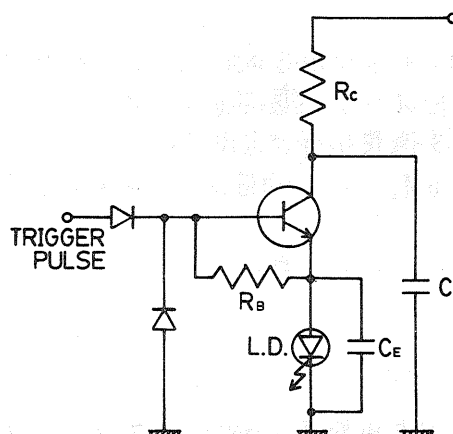
最大繰り返し数は
 $C = 0.0033\mu F$ のとき
 -3 dB のままで 30 kHz

Fig. 1 試作したアバランシェトランジスタパルス回路 であった。

2-3 シングルヘテロ半導体レーザの駆動

試作したパルサの性能試験としてシングルヘテロ半導体レーザの駆動を試みた。レーザ素子にはレーザダイオード社のLD60を用い、レーザ光はLSD39Aにより光電変換し、帯域100MHzのオシilloscopeで波形を観測した。Fig. 3は注入電流と出力光強度との関係を調べたものであり、典型的なギンク特性を示してあり、

Fig. 2 出力電流の印加電圧依存性



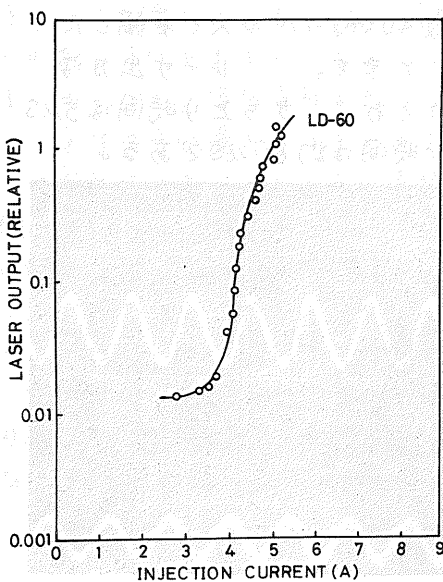


Fig. 3 半導体レーザ"LD 60"の入出力特性 トランジスタのC-E間に並列に入っている抵抗は、トランジ

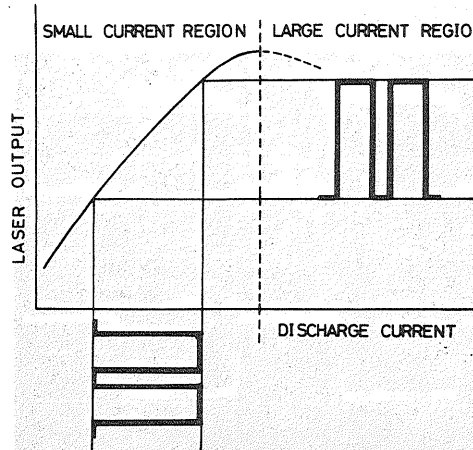


Fig. 4 He-Ne レーザの直接電流変調の原理図

レーザ発振しているのが確認される。最大繰り返し数は100 KHzまで可能であった。このように試作したパルサは高出力の半導体レーザの駆動に十分な性能を有していると言えろ。

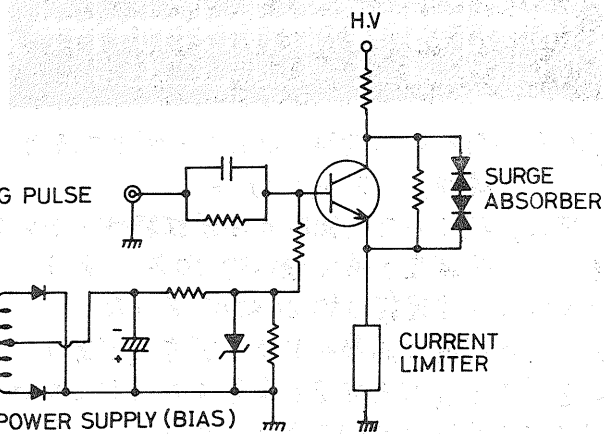
3. He-Neガスレーザの直接電流変調

3-1 変調回路の試作

He-Neガスレーザの直接変調は、これまで真空管を用いて実験が試みられており、最近超耐圧トランジスタが容易に入手できようになつたため、変調器の固体化が可能となつた。例えればFig. 4に示すように小電流領域において、放電電流をトランジスタによって制御することにより、レーザ出力に変調をかけることができる。Fig. 5は試作したトランジスタ式パルス変調回路を示すものである。スイッチング素子には超耐圧の2SC1895(東芝)を用いられる。トランジスタは常に逆バイアスされオフになっており、正パルスで導通する。

トランジスタのC-E間に並列に入っている抵抗は、トランジスタが非導通のとき放電が停止するのを防ぐためのものである。また、トランジスタの動作点を移動レジストの範囲に収める役割ももつた。さらに、トランジスタの保護のためサーダブソーバをC-E間に挿入してある。

サーダブソーバは270Vのものを2個直列ヒシ540Vで動作するようにした。サーダブソーバを入れないと2SC1895よりさうに高耐圧の2SD621を用いて実験したところ、1日間の運転でトランジスタが破壊してしまう、この方法が有効であることが確かめられた。



3-2 試作した変調回路の動作特性

実験に用いたレーザチューブはSpectra-Physics社のModel 155である。

Fig. 6に放電電流を変えたときのレーザ出力の変化の測定結果を示す。小電流領域では直線性は比較的良好であることが判かる。

Fig. 7はトランジスタの動作点を負荷直線の中心に選び、正弦波で変調したときのレーザ出力波形を示すものである。

Fig. 7はトランジスタの動作点を負荷直線の中心に選び、正弦波で変調したときのレーザ出力波形を示すものである。

Fig. 7はトランジスタの動作点を負荷直線の中心に選び、正弦波で変調したときのレーザ出力波形を示すものである。30 KHz程度まではこのようにきれいな正弦波が得られた。次に、トランジスタを逆バイアスして、矩形波で駆動したときの出力波形をFig. 8に示す。図から判るように10 KHzの変調周波数では出力波形の乱れは殆んどない。20 KHz以上になると出力波形にやや歪みを生じるようになるが、これはトランジスタの応答速度が充分でないためと思われる。これは、高耐圧トランジスタの高速化技術の進展により解決されよう。さうに高速変調を実現するためには、ドライブ回路を変更してスピードアップコンデンサのみでトランジスタを駆動するのが有効である。ベースを大きく入力でパルス的に駆動し、その後すぐにターンオフするようにする。

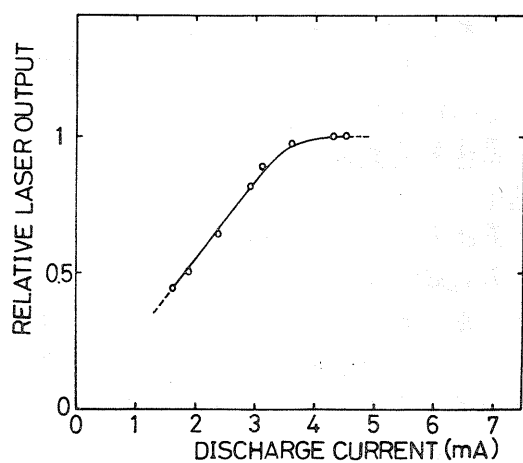


Fig. 6 レーザ出力の放電電流依存性
間より長いのは、かなり強引にベースに電流を注ぎ込んでいたためと考えられるが、約100kHzまでは以上述べた方法が、最も深い良好な変調をかけることができた。

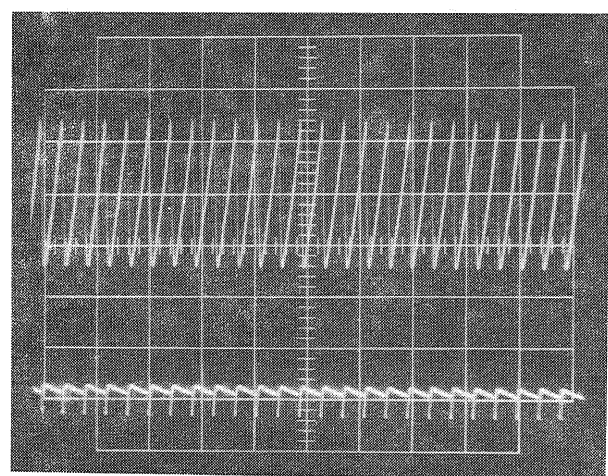


Fig. 9 高速パルス変調されたレーザ出力波形
横軸 0.2 ms/div

次に、試作した変調器の周波数特性をFig. 10に示す。変調度の最大値は約30%であり、-3dBに低下する周波数は約20kHzであった。もちろん、この状態は通常のドライブ方式であり、Fig. 9のところ述べた方法で駆動すれば100kHz程度まではかなり深い変調で実用できる。Fig. 11は正弦波で変調したときの周波数特性を示すものである。この場合、-3dBの周波数はそれぞれ35Hzと30kHzであった。

3-3 試作回路の得失

真空管を変調素子に用いた場合、大電流領域で約500kHzまで100%変調をかけた報告⁶⁾もあるがトランジスタでこの値をクリアするのも間近いと思われる。また、以上述べた方法の他にマグネ

パルス幅1μs、繰り返し数40kHzのパルスで変調したときのレーザ出力波形をFig. 9に示す。レーザ出力は、40kHzのきれいな変調を受けており、立ち上り時間は5μsと急峻である。立ち下り時間は約80μsである。

駆動パルスはパルス幅0.1μs～数μsの間で動作に影響を与えない。
立ち下り時間がトランジスタ

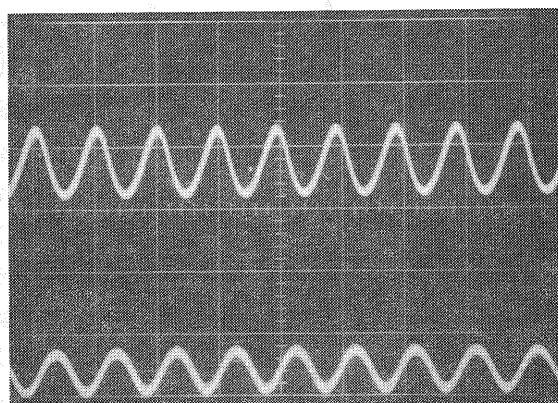


Fig. 7 正弦波で変調されたレーザ出力波形
横軸 50 μs/div

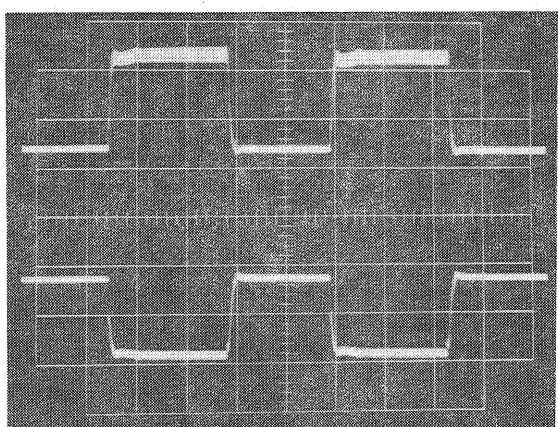


Fig. 8 パルスで変調されたレーザ出力波形
横軸 0.2 ms/div

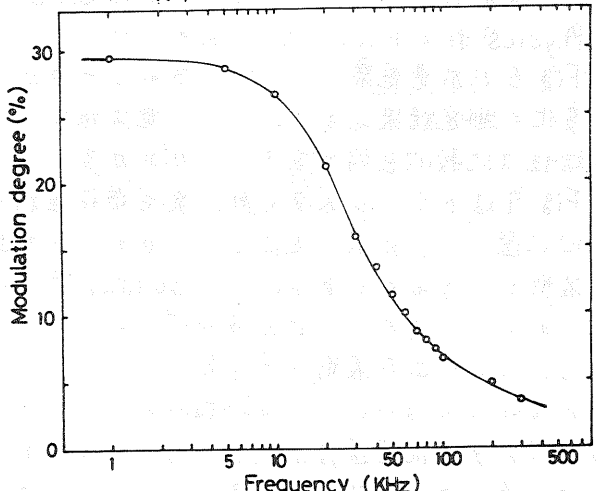


Fig. 10 試作した変調器の周波数特性
矩形波で変調した場合

トロンの駆動に用いるPFN回路によつて駆動することも考えられるが、市販のレーザを用いて簡易変調するには以上述べた方法の方が優れていふといえよう。

「ずれにせよ、このような直接電流変調においては、スイッチング回路の問題が解決しても、Heの上準位 2^1S_0 の寿命が $2\mu s$ であることから、繰り返し周波数の上限はせいぜい数MHzと予想されろが、実験室内で機械的チョッパを用いるより、はるかに良好な精度で実験が可能となろう。

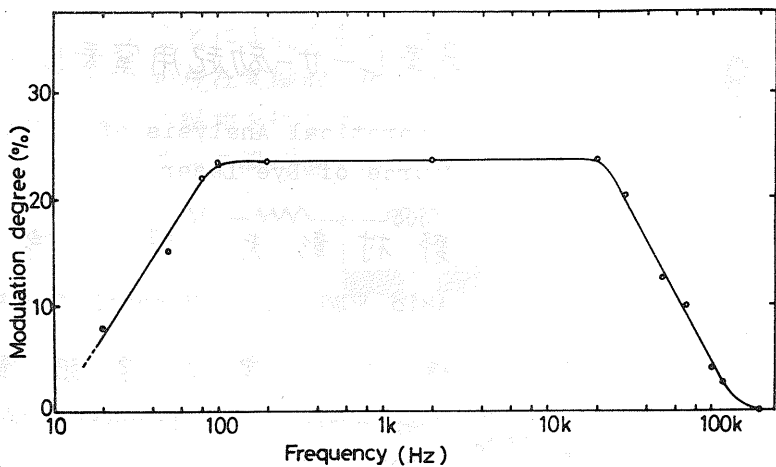


Fig. 11 試作した変調器の周波数特性
正弦波で変調した場合

4. おわりに

以上述べたように、最新の高耐圧高速スイッチング用トランジスタを用い、半導体レーザおよびHe-Neガスレーザの直接電流変調を試み、好成績を得ることができた。今後もさらに高速、高繰り返し化の改良を行なって行きたい。

参考文献

- 1) 十文字, 増田, 電気関係学会東北支部大会講演論文集 2G10 (1978)
- 2) C.J Kirby et al, Ferroelectrics 10, 263 (1976)
- 3) Y. Masuda, M. Jyumonji, M. Wada, Proc. of 1st Meeting on Ferroelectric Material and Their Applications, Kyoto (1977)
- 4) P.R Prince, Proc. IEEE, 53, 304 (1965)
- 5) 十文字, 増田, 電気関係学会東北支部大会講演論文集 2G23 (1979)
- 6) 加藤, 銀不, 応用物理 44, 30 (1975)

付録 トランジスタの動作領域について

Fig A-1 (a)において、負荷直線を求めると

$$I_C R_L + \left(\frac{R_L}{R_B} + 1 \right) V_{CE} = V_{CC} \quad (A-1)$$

となる。これを図示すると、同図(b)のように、 V_{CE} の最大値は R_B を入れないとえにくくべ

$$V_{CE} \rightarrow \frac{V_{CC}}{\left(\frac{R_L}{R_B} + 1 \right)} \quad (A-2)$$

と小さくなり、トランジスタを保護できる。

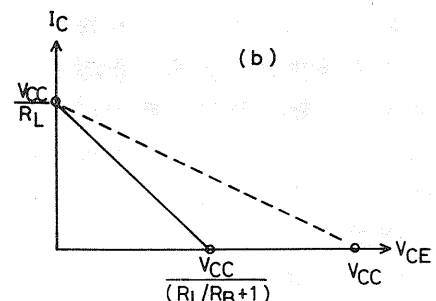
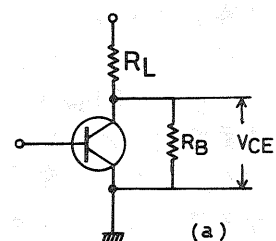


Fig A-1 R_B による負荷直線の様子